

01;03

## Влияние электрического поля на капиллярный эффект „мертвой воды“

© А.И. Григорьев, С.О. Ширяева, М.С. Федоров

Ярославский государственный университет им. П.Г. Демидова,  
150000 Ярославль, Россия  
e-mail: grig@uniyar.ac.ru

(Поступило в Редакцию 20 сентября 2011 г.)

Показано, что капиллярный аналог эффекта „мертвой воды“ сильно зависит от наличия внешнего электростатического поля: количество внутренних нелинейных резонансных ситуаций резко увеличивается при наличии поля. Наличие поля приводит к увеличению амплитуд волн и к возбуждению как вырожденных, так и вторичных комбинационных резонансов, которые не имеют места в отсутствие поля.

### Введение

Эффект „мертвой воды“ — эффект передачи импульса с верхней поверхности на нижнюю в многослойной жидкости для гравитационных волн был подробно исследован в начале XX века Сретенским Л.Н. [1–4]. Недавно [5] было показано, что он имеет асимптотику в области капиллярных волн. В этой связи исследования влияния внешнего электрического поля на закономерности его реализации представляется актуальным.

### 1. Постановка задачи

Рассмотрим две идеальные жидкости, верхняя из которых — диэлектрик с диэлектрической проницаемостью  $\epsilon_d$  имеет толщину  $h$  и плотность  $\rho_1$ , а нижняя — идеальный проводник с плотностью  $\rho_2$  заполняет полубесконечное пространство  $z < 0$ . Будем рассматривать волны на поверхности жидкости в области размеров, в которой влияние гравитационного поля несущественно. Обе жидкости несжимаемы и несмешиваемые, причем  $\rho_2 > \rho_1$ . Область над верхней жидкостью представляет собой вакуум. На границе раздела жидкостей равномерно распределен электрический заряд, который создает в области пространства  $z > h$  электростатическое поле  $\mathbf{E}_*$ .

Проанализируем взаимодействие и устойчивость капиллярно-гравитационных волн, существующих на свободной поверхности и границе раздела двух сред.

Математическая формулировка задачи имеет вид [5]

$$\frac{\partial \mathbf{V}_j}{\partial t} + (\mathbf{V}_j, \nabla) \mathbf{V}_j = -\nabla \left( \frac{P_j}{\rho_j} \right),$$

$$\operatorname{div} \mathbf{V}_j = 0 \quad (j = 1, 2),$$

$$F_j(x, z, t) = 0: \quad \frac{\partial F_j}{\partial t} + (\mathbf{V}_j, \nabla) F_j = 0,$$

$$z = \xi_2: \quad (\mathbf{n}_2, \mathbf{V}_1) = (\mathbf{n}_2, \mathbf{V}_2), \quad P_2 - P_1 + P_{2E} - P_{2\sigma} = 0,$$

$$z = h + \xi_1: \quad P_1 - P_{\text{atm}} + P_{1E} - P_{1\sigma} = 0,$$

$$z \rightarrow -\infty: \quad \mathbf{V}_2 \rightarrow 0,$$

где  $\mathbf{V}_j$  — поля скоростей в верхней и нижней жидкостях,  $\mathbf{n}_2$  — вектор нормали к границе раздела сред, функции  $F_1(x, z, t) \equiv z - \xi_1(x, t) - h$  и  $F_2(x, z, t) \equiv z - \xi_2(x, t)$  определяют уравнения свободной поверхности верхнего слоя жидкости  $F_1(x, z, t) = 0$  и границы раздела жидкости  $F_2(x, z, t) = 0$ ,  $\xi_1(x, t)$  и  $\xi_2(x, t)$  — возмущения свободной поверхности слоя и границы раздела сред соответственно, амплитуда которых  $|\xi_1| \approx |\xi_2| \ll h$  принимаются в качестве малого параметра задачи,  $P_1, P_2$  — гидродинамические давления в слое и нижней жидкости,  $P_{1\sigma}, P_{2\sigma}$  и  $P_{1E}, P_{2E}$  — капиллярные и электростатические давления на свободной поверхности (индекс 1) и границе раздела сред (индекс 2).

Дополним задачу начальными условиями на свободной поверхности и на границе раздела сред

$$t = 0: \quad \xi_1(x, t) = \xi_1 \exp(ikx), \quad \xi_2(x, t) = \xi_2 \exp(ikx),$$

$$\frac{\partial \xi_1(x, t)}{\partial t} = 0, \quad \frac{\partial \xi_2(x, t)}{\partial t} = 0. \quad (2)$$

Здесь и далее  $i$  — мнимая единица.

Для замыкания системы уравнений (1) необходимо сфокусировать задачу определения электрического поля

$$\Delta \Phi_i = 0, \quad \mathbf{E}_i = -\nabla \Phi_i, \quad i = 0, 1, \quad (3)$$

где  $\mathbf{E}_1, \mathbf{E}_0$  — напряженности электрического поля,  $\Phi_1, \Phi_0$  — электростатические потенциалы в слое жидкости и в вакууме соответственно.

Граничные условия, которым должны удовлетворять потенциалы на границе раздела двух жидкостей и свободной поверхности слоя, имеют вид

$$z = \xi_2: \quad \Phi_1 = \text{const},$$

$$z = h + \xi_1: \quad (\mathbf{n}_1, \nabla \Phi_0) = \epsilon_d (\mathbf{n}_1, \nabla \Phi_1),$$

$$(\boldsymbol{\tau}_1, \nabla \Phi_0) = (\boldsymbol{\tau}_1, \nabla \Phi_1),$$

$$z \rightarrow \infty: \quad -\nabla \Phi_0 \rightarrow \mathbf{E}_* = E_* \mathbf{e}_z, \quad (4)$$

$$\boldsymbol{\tau} = \mathbf{e}_x \left[ 1 - \frac{1}{2} (\partial_x \xi_1)^2 \right] + \mathbf{e}_z \partial_x \xi_1,$$

$$\mathbf{n}_1 = \mathbf{e}_z \left[ 1 - \frac{1}{2} (\partial_x \xi_1)^2 \right] - \mathbf{e}_x \partial_x \xi_1,$$

где  $\mathbf{E}_*$  — напряженность электростатического поля в вакууме (при  $\xi_1 \equiv 0$ ),  $\boldsymbol{\tau}_1$  и  $\mathbf{n}_1$  — тангенциальный и нормальный орты к поверхности слоя.

Решение сформулированной задачи естественно искать в рамках модели потенциального течения жидкостей:

$$\mathbf{V}_j(\mathbf{r}, t) = \nabla \varphi_j(\mathbf{r}, t) \quad (j = 1, 2),$$

где  $\varphi_1(\mathbf{r}, t)$  и  $\varphi_2(\mathbf{r}, t)$  — потенциалы поля скоростей волнового движения в верхней и нижней жидкостях соответственно. Поскольку движения обеих жидкостей вызваны малыми колебаниями их граничных поверхностей, то примем, что в безразмерных переменных ( $\rho_1 = g = k = 1$ ) потенциалы  $\varphi_1(\mathbf{r}, t)$  и  $\varphi_2(\mathbf{r}, t)$  имеют тот же порядок малости, что и амплитуды волн  $|\varphi_j| \approx |\xi_j| \approx \varepsilon$ , где  $\varepsilon \equiv \xi_j k$  — безразмерная амплитуда начальной деформации, которую примем в качестве малого параметра задачи. Будем искать решение методом многих временных масштабов [6] ( $T_n = \varepsilon^n t$ ,  $n = 0; 1$ ) в виде асимптотических разложений.

$$\begin{aligned} \Phi_i(x, z, t) &\approx \Phi_i^0(z) + \varepsilon \Phi_i^1(x, z, T_0, T_1) \\ &\quad + \varepsilon^2 \Phi_i^2(x, z, T_0) + O(\varepsilon^3) \quad (i = 0, 1), \\ P_j &\approx P_j^{(0)} + \varepsilon P_j^{(1)} + \varepsilon^2 P_j^{(2)} + O(\varepsilon^3), \\ P_{jE} &\approx P_{jE}^{(0)} + \varepsilon P_{jE}^{(1)} + \varepsilon^2 P_{jE}^{(2)} + O(\varepsilon^3), \\ P_{j\sigma} &\approx P_{j\sigma}^{(0)} + \varepsilon P_{j\sigma}^{(1)} + \varepsilon^2 P_{j\sigma}^{(2)} + O(\varepsilon^3), \\ \varphi_j(x, z, t) &\approx \varepsilon \varphi_j^{(1)}(x, z, T_0, T_1) + \varepsilon^2 \varphi_j^{(2)}(x, z, T_0) + O(\varepsilon^3), \\ \xi_j(x, t) &\approx \varepsilon \xi_j^{(1)}(x, T_0, T_1) + \varepsilon^2 \xi_j^{(2)}(x, T_0) + O(\varepsilon^3) \\ &\quad (j = 1, 2) \end{aligned} \quad (5)$$

где верхний индекс означает порядок малости соответствующей компоненты: нулем помечены равновесные значения на поверхностях раздела, не связанные с возмущениями, а единицей и двойкой — величины первого и второго порядков малости соответственно.

Для определения капиллярного давления на границу раздела и свободную поверхность жидкости удобно воспользоваться известным выражением:

$$P_{j\sigma} = \sigma_j \operatorname{div} \mathbf{n}_j \quad (j = 1, 2),$$

где векторы нормали определяются через уравнения поверхностей

$$F_j(x, z, t) = 0: \quad \mathbf{n}_j = \frac{\nabla F_j(x, y, z)}{|\nabla F_j(x, y, z)|} \Big|_{F_j(x, y, z)=0}.$$

Используя введенные выше выражения для функций  $F_j(x, z, t)$ , несложно получить

$$\mathbf{n}_j = \mathbf{e}_z \left[ 1 - \frac{1}{2} (\partial_x \xi_j)^2 \right] - \mathbf{e}_x \partial_x \xi_j.$$

Тогда компоненты капиллярного давления могут быть представлены через возмущения границ раздела

$$\begin{aligned} P_{j\sigma}^{(0)} &= 0, \quad P_{j\sigma}^{(1)} = -\sigma_j \partial_{xx} \xi_j^{(1)}, \\ P_{j\sigma}^{(2)} &= -\sigma_j \partial_{xx} \xi_j^{(2)}, \quad (j = 1, 2). \end{aligned} \quad (6)$$

Для определения давления электрического поля на свободную поверхность  $P_{1E}$  и границу раздела сред  $P_{2E}$  воспользуемся общим выражением для электростатического давления на границу раздела двух диэлектрических сред:

$$P_E = \frac{1}{8\pi} (\varepsilon_{\text{in}} - \varepsilon_{\text{ex}}) \left[ (\mathbf{E}^{\text{ex}})^2 - \left( 1 - \frac{\varepsilon_{\text{ex}}}{\varepsilon_{\text{in}}} \right) (\mathbf{n} \cdot \mathbf{E}_n^{\text{ex}})^2 \right], \quad (7)$$

где индексы ex и in отмечают величины внешние и внутренние по отношению к поверхности раздела.

В нашей задаче электростатическое давление  $P_{1E}$  является давлением на свободную поверхность жидкого диэлектрика, граничащего с вакуумом. Заменяя в выражении (7) поле  $\mathbf{E}^{\text{ex}}$  на поле в вакууме  $\mathbf{E}_0$ , внутреннюю диэлектрическую проницаемость  $\varepsilon_{\text{in}}$  на диэлектрическую проницаемость слоя жидкости  $\varepsilon_d$ , а внешнюю — на проницаемость вакуума, равную единице  $\varepsilon_{\text{ex}} = 1$ , получим

$$z = h + \xi_1: \quad P_{1E} = \frac{\varepsilon_d - 1}{8\pi} \left[ (\nabla \Phi_0)^2 - \frac{(\varepsilon_d - 1)}{\varepsilon_d} (\mathbf{n} \cdot \nabla \Phi_0)^2 \right]. \quad (8)$$

Для определения электростатического давления  $P_{2E}$  на границу раздела проводника (бесконечно глубокая идеально проводящая жидкость) и диэлектрика (слой жидкости толщиной  $h$ ) учтем, что в этом случае вектор напряженности внешнего поля  $\mathbf{E}^{\text{ex}}$  направлен по нормали и совпадает по модулю с нормальной проекцией  $\mathbf{E}^{\text{ex}} = E_n^{\text{ex}}$ . Заменяя в выражении (7) поле  $\mathbf{E}^{\text{ex}}$  на поле в верхнем слое  $\mathbf{E}_1$  и переходя к пределу  $\varepsilon_{\text{in}} \rightarrow \infty$  (так как диэлектрическая проницаемость проводника стремится к бесконечности), получим

$$z = \xi_2: \quad P_{2E} = \frac{\varepsilon_d}{8\pi} (\nabla \Phi_1)^2. \quad (9)$$

Подставляя в (8), (9) разложения (5) для электростатических потенциалов, запишем компоненты электростатических давлений различных порядков малости в следующем виде:

нулевой порядок малости:

$$\begin{aligned} z = h: \quad P_{1E}^{(0)} &= \frac{\varepsilon_d - 1}{8\pi \varepsilon_d} (\partial_z \Phi_0^{(0)})^2, \\ z = 0: \quad P_{2E}^{(0)} &= \frac{\varepsilon_d}{8\pi} (\partial_z \Phi_1^{(0)})^2, \end{aligned} \quad (10)$$

первый порядок малости:

$$\begin{aligned} z = h: \quad P_{1E}^{(1)} &= \frac{(\varepsilon_d - 1)}{4\pi \varepsilon_d} \partial_z \Phi_0^{(0)} \partial_z \Phi_1^{(1)}, \\ z = 0: \quad P_{2E}^{(1)} &= \frac{\varepsilon_d}{4\pi} \partial_z \Phi_1^{(0)} \Phi_1^{(1)}, \end{aligned} \quad (11)$$

второй порядок малости:

$$z = h: P_{1E}^{(2)} = \frac{(\varepsilon_d - 1)}{8\pi} \left\{ (\partial_x \Phi_0^{(1)})^2 + 2\xi_1^{(1)} \partial_z \Phi_0^{(0)} \partial_{zz} \Phi_0^{(1)} + 2\partial_z \Phi_0^{(0)} \partial_z \Phi_0^{(2)} + (\partial_z \Phi_0^{(1)})^2 - \left(1 - \frac{1}{\varepsilon_d}\right) \left[ 2\partial_z \Phi_0^{(0)} \partial_{zz} \Phi_0^{(1)} \xi_1^{(1)} + 2\partial_z \Phi_0^{(0)} \partial_z \Phi_0^{(2)} - (\partial_x \xi_1^{(1)} \partial_z \Phi_0^{(0)})^2 - 2\partial_x \xi_1^{(1)} \partial_x \Phi_0^{(1)} \partial_z \Phi_0^{(0)} + (\partial_z \Phi_0^{(1)})^2 \right] \right\},$$

$$z = 0: P_{2E}^{(2)} = \frac{\varepsilon_d}{8\pi} \left[ (\partial_x \Phi_1^{(1)})^2 + 2\xi_2^{(1)} \partial_z \Phi_1^{(0)} \partial_{zz} \Phi_1^{(1)} + 2\partial_z \Phi_1^{(0)} \partial_z \Phi_1^{(2)} + (\partial_z \Phi_1^{(1)})^2 \right]. \quad (12)$$

Далее, подставляя разложения (5) в задачу (1) и собирая слагаемые одного порядка малости по  $\varepsilon$ , несложно выделить краевые задачи различных порядков.

## 2. Задача нулевого порядка малости

Краевая задача нулевого порядка малости имеет вид

$$\partial_{z,z} \Phi_i^{(0)} = 0, \quad P_j^{(0)} = f_j^{(0)}, \quad i = 0, 1; \quad j = 1, 2;$$

$$z = h: f_1^{(0)} = P_{\text{atm}} - P_{1E}^{(0)} + P_{1\sigma}^{(0)}, \quad \partial_z \Phi_0^{(0)} = \varepsilon \partial_z \Phi_1^{(0)},$$

$$z = 0: f_2^{(0)} = f_1^{(0)} - P_{2E}^{(0)} + P_{2\sigma}^{(0)}, \quad \Phi_1^{(0)} = \text{const},$$

$$z \rightarrow \infty: \quad \nabla \Phi_0^{(0)} \rightarrow -\mathbf{E}_*. \quad (13)$$

Здесь  $f_1^{(0)}, f_2^{(0)}$  — константы интегрирования уравнений Эйлера. Система уравнений (13), где давления  $P_{i\sigma}^{(0)}$  и  $P_{iE}^{(0)}$  определяются выражениями (6), (10), описывает равновесное состояние системы в отсутствие каких-либо возмущений свободной поверхности и границы раздела сред. Подставляя решения уравнений Лапласа для электростатических потенциалов  $\Phi_i^{(0)} = C_i z + B_i$  (где  $C_i$  и  $B_i$  — константы интегрирования) в граничные условия (13), получим выражения для распределения гидродинамических давлений и потенциалов электрического поля

$$\Phi_0^{(0)} = E_* z, \quad P_1^{(0)} = P_{\text{atm}} - \frac{(\varepsilon_d - 1)}{8\pi \varepsilon_d} E_*^2,$$

$$\Phi_1^{(0)} = -\frac{1}{\varepsilon_d} E_* z, \quad \Phi_2^{(0)} = P_{\text{atm}} - \frac{1}{8\pi} E_*^2. \quad (14)$$

## 3. Задача первого порядка малости

В первом порядке малости получим задачу

$$\Delta \varphi_j^{(1)} = 0, \quad P_j^{(1)} = -\rho_j \partial_{T_0} \varphi_j^{(1)},$$

$$\Delta \Phi_i^{(1)} = 0 \quad (j = 1, 2; \quad i = 0, 1),$$

$$z = h: \quad \partial_{T_0} \xi_1 = \partial_z \varphi_1^{(1)}, \quad -\rho_1 (\partial_{T_0} \varphi_1^{(1)}) + P_{1E}^{(1)} - P_{1\sigma}^{(1)} = 0,$$

$$\partial_z \Phi_0^{(1)} = \varepsilon_d \partial_z \Phi_1^{(1)},$$

$$\partial_x \xi_1^{(1)} \partial_z \Phi_0^{(0)} + \partial_x \Phi_0^{(1)} = \partial_x \xi_1^{(1)} \partial_z \Phi_1^{(0)} + \partial_x \Phi_1^{(1)},$$

$$z = 0: \quad -\rho_2 \partial_{T_0} \varphi_2^{(1)} + \rho_1 \partial_t \varphi_1^{(1)} + P_{2E}^{(1)} - P_{2\sigma}^{(1)} = 0,$$

$$\partial_z \varphi_1^{(1)} = \partial_z \varphi_2^{(1)} = \partial_t \xi_2^{(1)}, \quad \Phi_1^{(1)} + \partial_z \Phi_1^{(0)} \xi_2^{(1)} = 0,$$

$$z \rightarrow -\infty: \quad |\nabla \varphi_2^{(1)}| \rightarrow 0, \quad z \rightarrow \infty: \quad |\nabla \Phi_0^{(1)}| \rightarrow 0. \quad (15)$$

Система уравнений (15) с учетом выражений (6), (11) для давлений  $P_{j\sigma}^{(1)}, P_{jE}^{(1)}$  ( $j = 1, 2$ ) описывает в линейном приближении эволюцию рассматриваемой системы во времени, когда свободная поверхность и граница раздела сред возмущены волновым движением малой амплитуды.

Рассмотрим плоские волны, бегущие по обеим поверхностям в положительном направлении оси  $Ox$ :

$$\xi_j^{(1)}(x, t) = \alpha_j(T_1) \exp[i(kx - \omega T_0)], \quad (j = 1, 2)$$

где  $i$  — мнимая единица,  $k$  и  $\omega$  — волновое число и частота волны. Решая уравнение Лапласа и используя граничные условия, получим проекты решений для гидродинамических и электростатических потенциалов:

$$\varphi_1^{(1)}(x, z, t) = [B_1 \exp(kz) + B_2 \exp(-kz)] \exp[i(kx - \omega T_0)],$$

$$\varphi_2^{(1)}(x, z, t) = A \exp(kz) \exp[i(kx - \omega T_0)],$$

$$\Phi_0^{(1)}(x, z, t) = G \exp(-kz) \exp[i(kx - \omega T_0)],$$

$$\Phi_1^{(1)}(x, z, t) = [D_1 \exp(kz) + D_2 \exp(-kz)] \exp[i(kx - \omega T_0)]. \quad (16)$$

Подставляя (16) и решения (14) в граничные условия (15), получим систему алгебраических уравнений, из которых константы  $B_1, B_2, A, G, D_1, D_2$  определяются через амплитуды  $\alpha_j$ :

$$B_1 = -\frac{i\omega(k)[\alpha_1 \exp(kh) - \alpha_2]}{[\exp(2kh) - 1]k},$$

$$B_2 = -\frac{i\omega(k) \exp(kh)[\alpha_1 - \alpha_2 \exp(kh)]}{[\exp(2kh) - 1]k},$$

$$A = -\frac{i\omega(k)}{k} \alpha_2,$$

$$G = \frac{E_* \exp(kh)}{\varepsilon_d - 1 + (\varepsilon_d + 1) \exp(2kh)} \times \{ [1 + \exp(2kh)](\varepsilon_d - 1)\alpha_1 + 2\alpha_2 \exp(kh) \},$$

$$D_1 = \frac{(\varepsilon_d - 1)E_*}{\varepsilon_d[\varepsilon_d - 1 + (\varepsilon_d + 1) \exp(2kh)]} [\alpha_2 - \alpha_1 \exp(kh)],$$

$$D_2 = \frac{\exp(kh)E_*}{\varepsilon_d[\varepsilon_d - 1 + (\varepsilon_d + 1) \exp(2kh)]} \times [\alpha_2(\varepsilon_d + 1) \exp(kh) + \alpha_1(\varepsilon_d - 1)]. \quad (17)$$

Подставив решения (16) с коэффициентами (17) в динамические граничные условия (15), получим систему уравнений относительно амплитуд  $\alpha_1$  и  $\alpha_2$ :

$$a_{11}\alpha_1 + a_{12}\alpha_2 = 0, \quad a_{21}\alpha_1 + a_{22}\alpha_2 = 0, \quad (18)$$

$$a_{11} = \frac{\omega^2(k)\rho_1}{k \operatorname{th}(kh)} - \sigma_1 k^2 + \frac{E_*^2 k}{4\pi\epsilon_d} \frac{(\epsilon_d - 1)^2}{[\epsilon_d + \operatorname{th}(kh)]},$$

$$a_{12} = -\frac{1}{k \operatorname{sh}(kh)} \left\{ \omega^2(k)\rho_1 - \frac{E_*^2 k^2}{4\pi\epsilon_d} \frac{(\epsilon_d - 1)}{[\epsilon_d + \operatorname{th}(kh)]} \right\},$$

$$a_{21} = -\frac{1}{k \operatorname{sh}(kh)} \left\{ \omega^2(k)\rho_1 - \frac{E_*^2 k^2}{4\pi\epsilon_d} \frac{(\epsilon_d - 1)}{[\epsilon_d + \operatorname{th}(kh)]} \right\},$$

$$a_{22} = \frac{\omega^2(k)}{k} \left( \frac{\rho_1}{\operatorname{th}(kh)} + \rho_2 \right) - \sigma_1 k^2 + \frac{E_*^2 k}{4\pi\epsilon_d} \frac{[\epsilon_d \operatorname{th}(kh) + 1]}{[\epsilon_d + \operatorname{th}(kh)]}.$$

Приравняв определитель выписанной системы нулю

$$\begin{vmatrix} a_{11}\alpha_1 & a_{12}\alpha_2 \\ a_{21}\alpha_1 & a_{22}\alpha_2 \end{vmatrix} = 0,$$

получим дисперсионное уравнение задачи

$$\omega^4(k) - \frac{k\rho_1 V(k)}{c(k)} \omega^2(k) + \frac{k^2 \operatorname{th}(kh) S(k)}{c(k)} = 0, \quad (19)$$

решения которого имеют вид

$$\omega_{1,2}^2(k) = \frac{k}{2c(k)} \left[ \rho_1 V(k) \mp \sqrt{\rho_1^2 V^2(k) - 4S(k) \operatorname{th}(kh) c(k)} \right], \quad (20)$$

$$c(k) = \rho_1 [\rho_1 + \rho_2 \operatorname{cth}(kh)],$$

$$V(k) = k^2(\sigma_2 + \sigma_1) + \frac{\rho_2 \sigma_1 k^2}{\rho_1} \operatorname{th}(kh) - \frac{E_*^2 k}{4\pi\epsilon_d [\epsilon_d + \operatorname{th}(kh)]}$$

$$\times \left\{ \epsilon_d^2 - 2(\epsilon_d - 1) \left[ \frac{1}{\operatorname{ch}^2(kh) - 1} \right] + \operatorname{th}(kh) \left[ \epsilon_d + \frac{\rho_2}{\rho_1} (\epsilon_d - 1)^2 \right] \right\},$$

$$S(k) = \left\{ \sigma_1 k^2 - \frac{E_*^2 k (\epsilon_d - 1)^2}{4\pi\epsilon_d [\epsilon_d + \operatorname{th}(kh)]} \right\}$$

$$\times \left\{ \sigma_2 k^2 - \frac{E_*^2 k [\epsilon_d \operatorname{th}(kh) + 1]^2}{4\pi\epsilon_d [\epsilon_d + \operatorname{th}(kh)]} \right\}$$

$$- \left\{ \frac{E_*^2 k (\epsilon_d - 1)}{4\pi\epsilon_d [\epsilon_d + \operatorname{th}(kh)] \operatorname{ch}(kh)} \right\}.$$

Волновое движение устойчиво, если соответствующая частота вещественна, т.е. квадрат частоты положителен  $\omega^2 > 0$ . С увеличением напряженности электрического поля частота уменьшается. При  $\omega^2 < 0$  частота

становится мнимой, а амплитуда волны экспоненциально растет со временем. Таким образом, критическим для проявления неустойчивости является условие  $\omega^2 = 0$ . Положив в дисперсионном уравнении (19) частоту, равную нулю, получим уравнение для определения критического значения параметра  $W$ :

$$W^2 - W \frac{\epsilon_d}{k(\epsilon_d - 1)^2 \operatorname{th}(kh)} \left\{ (\epsilon_d - 1)^2 \sigma_2 k^2 + [\epsilon_d \operatorname{th}(kh) + 1] \sigma_1 k^2 \right\} + \frac{\epsilon_d^2}{k^2} \frac{[\epsilon_d + \operatorname{th}(kh)]}{(\epsilon_d - 1)^2 \operatorname{th}(kh)} k^4 \sigma_2 \sigma_1 = 0,$$

$$W = \frac{E_*^2}{4\pi}.$$

Решениями этого квадратичного уравнения будут два корня. Истинным следует принять тот из них, который дает правильное выражение в предельном переходе к случаю однослойной бесконечно глубокой жидкости:  $h \rightarrow \infty$ ,  $\rho_1, \sigma_1 \rightarrow 0$ . Таким образом, критическое значение параметра  $W$  будет определяться выражением

$$W_{cr} = \frac{\epsilon_d k (1 + \sqrt{1 - D})}{2(\epsilon_d - 1)^2 \operatorname{th}(kh)} \left\{ (\epsilon_d - 1)^2 \sigma_2 + [\epsilon_d \operatorname{th}(kh) + 1] \sigma_1 \right\},$$

$$D = \frac{4(\epsilon_d - 1)^2 \operatorname{th}(kh) [\epsilon_d + \operatorname{th}(kh)] \sigma_2 \sigma_1}{\{(\epsilon_d - 1)^2 \sigma_2 + [\epsilon_d \operatorname{th}(kh) + 1] \sigma_1\}^2}.$$

Из уравнений системы (18) легко определить отношение  $\alpha_2$  — амплитуды „внутренней“ волны, распространяющейся по границе раздела двух сред, к  $\alpha_1$  — амплитуде волны, распространяющейся по свободной поверхности верхнего слоя жидкости

$$\frac{\alpha_2}{\alpha_1} = -\frac{a_{11}}{a_{12}}$$

$$= \frac{\rho_1 \omega^2 - k^3 \sigma_1 \operatorname{th}(kh) + \frac{Wk^2}{\epsilon_d} \frac{(\epsilon_d - 1)^2 \operatorname{th}(kh)}{[\epsilon_d + \operatorname{th}(kh)]}}{\rho_1 \omega^2 - \frac{Wk^2}{\epsilon_d} \frac{(\epsilon_d - 1) \operatorname{th}(kh)}{[\epsilon_d + \operatorname{th}(kh)]}} \operatorname{ch}(kh). \quad (21)$$

В связи с упомянутыми во введении к настоящей работе приложениями, связанными с наличием электрического поля, перпендикулярного границе раздела, представляется целесообразным проследить роль параметра  $W$ , входящего как в полную постановку задачи, в дисперсионное уравнение (19), так и в (21). Из (21) видно, что отношение амплитуд может иметь резонанс при варьировании полевого параметра  $W$ , когда знаменатель стремится к нулю:

$$\left\{ \rho_1 \omega^2 - \frac{Wk^2}{\epsilon_d} \frac{(\epsilon_d - 1) \operatorname{th}(kh)}{[\epsilon_d + \operatorname{th}(kh)]} \right\} \rightarrow 0.$$

Это обстоятельство указывает на важную роль электрического поля в области капиллярных волн. Капиллярный аналог эффекта „мертвой воды“ в отсутствие внешнего электростатического поля имеет место при  $\sigma_2 \rightarrow 0$  [3].

Чтобы записать общее решение задачи первого порядка малости, константы  $B_1, B_2, A, D_1, D_2, G$  определим для каждого из корней дисперсионного уравнения. Для этого обозначим неизвестные функции  $\alpha_1(T_1)$  и  $\alpha_2(T_1)$ , соответствующие первому корню  $\omega_1(k)$ , как  $\alpha_{11}(T_1)$  и  $\alpha_{21}(T_1)$ , а второму корню  $\omega_2(k)$  как  $\alpha_{12}(T_1)$  и  $\alpha_{22}(T_1)$ . В результате проекты решений примут вид

$$\xi_j^{(1)}(x, T_0) = \sum_{n=1}^2 \xi_{jn}^{(1)}(x, T_0),$$

$$\varphi_j^{(1)}(x, T_0) = \sum_{n=1}^2 \varphi_{jn}^{(1)}(x, T_0) \quad (j = 1, 2), \quad (22)$$

$$\xi_{jn}^{(1)}(x, T_0, T_1) = \alpha_{jn}(T_1) \exp \{i[kx - \omega_n(k)T_0]\} + \text{к.с.},$$

$$\begin{aligned} \varphi_{11}^{(1)}(x, z, T_0) &= [B_{11} \exp(kz) + B_{21} \exp(-kz)] \\ &\times \exp \{i[kx - \omega_1(k)T_0]\} + \text{к.с.}, \end{aligned}$$

$$\begin{aligned} \varphi_{12}^{(1)}(x, z, T_0) &= [B_{12} \exp(kz) + B_{22} \exp(-kz)] \\ &\times \exp \{i[kx - \omega_2(k)T_0]\} + \text{к.с.}, \end{aligned}$$

$$\varphi_{21}^{(1)}(x, z, T_0) = A_1 \exp(kz) \exp \{i[kx - \omega_1(k)T_0]\} + \text{к.с.},$$

$$\varphi_{22}^{(1)}(x, z, T_0) = A_2 \exp(kz) \exp \{i[kx - \omega_2(k)T_0]\} + \text{к.с.},$$

$$\begin{aligned} \Phi_{11}^{(1)}(x, z, T_0) &= [D_{11} \exp(kz) + D_{12} \exp(-kz)] \\ &\times \exp \{i[kx - \omega_1(k)T_0]\} + \text{к.с.}, \end{aligned}$$

$$\begin{aligned} \Phi_{12}^{(1)}(x, z, T_0) &= [D_{12} \exp(kz) + D_{22} \exp(-kz)] \\ &\times \exp \{i[kx - \omega_2(k)T_0]\} + \text{к.с.}, \end{aligned}$$

$$\Phi_{01}^{(1)} = G_1 \exp(-kz) \exp \{i[kx - \omega_1(k)T_0]\} + \text{к.с.},$$

$$\Phi_{02}^{(1)} = G_2 \exp(-kz) \exp \{i[kx - \omega_2(k)T_0]\} + \text{к.с.},$$

В выражениях с тремя индексами  $\xi_{jn}^{(m)}$  и  $\varphi_{jn}^{(m)}$  верхний индекс, стоящий в скобках, означает порядок малости соответствующей компоненты; первый нижний индекс характеризует поверхность, на которой наблюдается волна; второй нижний индекс характеризует поверхность, которая порождает волну. Последние два утверждения справедливы и для коэффициентов  $\alpha_{jn}$ .

Найдем отношения амплитудных множителей волн (22) на границе раздела сред и на свободной поверхности для частот  $\omega_1(k)$  и  $\omega_2(k)$ , определяемых соотношениями (20)

$$\alpha_{21}(T_1) = d_1(k)\alpha_{11}(T_1), \quad \alpha_{22}(T_1) = d_2(k)\alpha_{12}(T_1), \quad (23)$$

$$\begin{aligned} d_1(k) &= \frac{\left\{ \frac{kW(-1+\varepsilon_d)^2}{\varepsilon_d[\text{th}(kh)+\varepsilon_d]} - k^2\sigma + \frac{\rho_1\omega_1^2(k)}{k\text{th}(kh)} \right\}}{\frac{kW(-1+\varepsilon_d)}{\varepsilon_d[\text{th}(kh)+\varepsilon_d]\text{ch}(kh)} - \frac{\rho_1\omega_1^2(k)}{k\text{sh}(kh)}}, \\ d_2(k) &= \frac{\left\{ \frac{kW(-1+\varepsilon_d)^2}{\varepsilon_d[\text{th}(kh)+\varepsilon_d]} - k^2\sigma + \frac{\rho_1\omega_2^2(k)}{k\text{th}(kh)} \right\}}{\frac{kW(-1+\varepsilon_d)}{\varepsilon_d[\text{th}(kh)+\varepsilon_d]\text{ch}(kh)} - \frac{\rho_1\omega_2^2(k)}{k\text{th}(kh)\text{ch}(kh)}}. \end{aligned}$$

Из (22) видно, что в линейном по амплитуде приближении волновое движение на свободной поверхности и на границе раздела сред представляет собой суперпозицию двух волн с различными частотами  $\omega_1(k)$  и  $\omega_2(k)$ , определяемых соотношениями (20), являющимися решениями дисперсионного уравнения задачи (19).

Забегаая вперед, отметим, что из анализа задачи второго порядка малости следует, что амплитуды  $\alpha_{11}, \alpha_{12}$ , а следовательно, и  $\alpha_{21}, \alpha_{22}$  не зависят от временного масштаба  $T_1$  и могут быть найдены из начальных условий в виде

$$\alpha_{11} = \frac{\xi_2 - \xi_1 d_2(k)}{2[d_1(k) - d_2(k)]}, \quad \alpha_{12} = -\frac{\xi_2 - \xi_1 d_1(k)}{2[d_1(k) - d_2(k)]}.$$

#### 4. Задача второго порядка малости

Во втором порядке малости получим

$$\Delta\varphi_j^{(2)} = 0, \quad \Delta\Phi_i^{(2)} = 0,$$

$$P_j^{(2)} = \rho_j \left[ f_1^{(2)} - \partial_{T_0}\varphi_j^{(2)} - \partial_{T_1}\varphi_j^{(1)} - \frac{1}{2} \left( \nabla\varphi_j^{(1)} \right)^2 \right],$$

$$(j = 1, 2; \quad i = 0, 1),$$

$$\begin{aligned} z = h: \quad \partial_z\varphi_1^{(2)} - \partial_{T_0}\xi_1^{(2)} &= \partial_x\xi_1^{(1)}\partial_x\varphi_1^{(1)} \\ &\quad - \xi_1^{(1)}\partial_{zz}\varphi_1^{(1)} + \partial_{T_1}\xi_1^{(1)}, \end{aligned}$$

$$\begin{aligned} \rho_1(f_1^{(2)} - \partial_{T_0}\varphi_1^{(2)}) + \sigma_1\partial_{xx}\xi_1^{(2)} - \frac{E_*(\varepsilon_d - 1)}{4\pi\varepsilon_d}\partial_z\Phi_0^{(2)} \\ = \rho_1 \left[ \partial_{T_1}\varphi_1^{(1)} + \partial_{z,T_0}\varphi_1^{(1)}\xi_1^{(1)} + \frac{1}{2} \left( \nabla\varphi_1^{(1)} \right)^2 \right] \\ - \frac{(\varepsilon_d - 1)}{8\pi} \left[ \left( \partial_x\Phi_0^{(1)} \right)^2 + 2\xi_1^{(1)}\partial_z\Phi_0^{(0)}\partial_{zz}\Phi_0^{(1)} + \left( \partial_z\Phi_0^{(1)} \right)^2 \right] \\ - \left( 1 - \frac{1}{\varepsilon} \right) \left( 2\partial_z\Phi_0^{(0)}\partial_{zz}\Phi_0^{(1)}\xi_1^{(1)} - \left( \partial_x\xi_1^{(1)}\partial_x\Phi_0^{(0)} \right)^2 \right) \\ - 2\partial_x\xi_1^{(1)}\partial_x\Phi_0^{(1)}\partial_z\Phi_0^{(0)} + \left( \partial_z\Phi_0^{(1)} \right)^2 \Big], \end{aligned}$$

$$\begin{aligned} \partial_z\Phi_0^{(2)} - \varepsilon_d\partial_z\Phi_1^{(2)} &= \frac{1}{2} \left( \partial_x\xi_1^{(1)} \right)^2 \partial_z\Phi_0^{(0)} + \partial_x\xi_1^{(1)}\partial_x\Phi_0^{(1)} \\ &\quad - \xi_1^{(1)}\partial_{zz}\Phi_0^{(1)} + \varepsilon_d \left[ \xi_1^{(1)}\partial_{zz}\Phi_1^{(1)} - \frac{1}{2} \left( \partial_x\xi_1^{(1)} \right)^2 \partial_z\Phi_1^{(0)} \right. \\ &\quad \left. - \partial_x\xi_1^{(1)}\partial_x\Phi_1^{(1)} \right], \end{aligned}$$

$$\begin{aligned} \partial_x\Phi_0^{(2)} - \partial_x\Phi_1^{(2)} + \partial_x\xi_1^{(2)} \left( \partial_z\Phi_0^{(0)} - \partial_z\Phi_1^{(0)} \right) \\ = \xi_1^{(1)} \left( \partial_{xz}\Phi_1^{(1)} - \partial_{xz}\Phi_0^{(1)} \right) + \partial_x\xi_1^{(1)} \left( \partial_z\Phi_1^{(1)} - \partial_z\Phi_0^{(1)} \right), \end{aligned}$$

$$\begin{aligned}
z = 0: \quad & \rho_1 (\partial_{T_0} \varphi_1^{(2)} - f_1^{(2)}) - (\partial_{T_0} \varphi_2^{(2)} - f_2^{(2)}) && + A_{24} \exp(kz) \exp [i(kx - \omega_1(k)T_0)] \\
& + \sigma_2 \partial_{xx} \xi_2^{(2)} - \frac{E}{4\pi} \partial_z \Phi_1^{(2)} = -\rho_1 [\partial_{T_1} \varphi_1^{(1)} + \partial_{z, T_0} \varphi_1^{(1)} \xi_1^{(1)}] && + A_{25} \exp(kz) \exp [i(kx - \omega_2(k)T_0)] \\
& + \frac{1}{2} (\nabla \varphi_1^{(1)})^2 + \rho_2 [\partial_{z, T_0} \varphi_2^{(1)} \xi_2^{(1)} + \partial_{T_1} \varphi_2^{(1)} + \frac{1}{2} (\nabla \varphi_2^{(1)})^2] && + A_{26} \exp(2kz) \exp [i(\omega_1(k)\omega_2(k))T_0]. \quad (25) \\
& - \frac{\varepsilon_d}{8\pi} [(\partial_x \Phi_1^{(1)})^2 + 2\xi_2^{(1)} \partial_z \Phi_1^{(0)} \partial_{zz} \Phi_1^{(1)} + (\partial_z \Phi_1^{(1)})^2],
\end{aligned}$$

$$\begin{aligned}
\partial_z \varphi_1^{(2)} - \partial_z \varphi_2^{(2)} &= \xi_2^{(1)} (\partial_{zz} \varphi_2^{(1)} - \partial_{zz} \varphi_1^{(1)}) \\
&+ \partial_x \xi_2^{(1)} (\partial_x \varphi_1^{(1)} - \partial_x \varphi_2^{(1)}),
\end{aligned}$$

$$\partial_z \varphi_2^{(2)} - \partial_{T_0} \xi_2^{(2)} = \partial_x \xi_2^{(1)} \partial_x \varphi_2^{(1)} - \xi_2^{(1)} \partial_{zz} \varphi_2^{(1)} + \partial_{T_1} \xi_2^{(1)},$$

$$\Phi_1^{(2)} + \xi_2^{(2)} \partial_z \Phi_1^{(0)} = -\xi_2^{(1)} \partial_z \Phi_1^{(1)},$$

$$z \rightarrow -\infty: \quad |\nabla \varphi_2^{(2)}| \rightarrow 0; \quad z \rightarrow \infty: \quad |\nabla \Phi_0^{(2)}| \rightarrow 0. \quad (24)$$

Решения задачи первого порядка малости (22) подставим в (24). По виду функций неоднородностей правых частей уравнений (24) создадим проект частных решений для возмущений поверхностей и гидродинамических потенциалов второго порядка малости

$$\begin{aligned}
\tilde{\xi}_j^2 &= \beta_{j1} \alpha_{11}^2 \exp [2i(kx - \omega_1(k)T_0)] + \beta_{j2} \alpha_{11} \alpha_{12} \\
&\times \exp \left\{ i [2kx - (\omega_1(k) + \omega_2(k))T_0] \right\} + \beta_{j3} \alpha_{12}^2 \exp [2i(kx \\
&- \omega_2(k)T_0)] + \beta_{j4} \exp [i(kx - \omega_1(k)T_0)] + \beta_{j5} \exp [i(kx \\
&- \omega_2(k)T_0)] + \beta_{j6} + \beta_{j7} \exp [i(\omega_1(k) - \omega_2(k))T_0],
\end{aligned}$$

$$\begin{aligned}
\varphi_1^{(2)} &= [C_{11} \exp(2kz) + C_{12} \exp(-2kz)] \exp [2i(kx \\
&- \omega_1(k)T_0)] + [C_{13} \exp(2kz) + C_{14} \exp(-2kz)] \\
&\times \exp [i(2kx - (\omega_1(k) + \omega_2(k)))T_0] + [C_{15} \exp(2kz) \\
&+ C_{16} \exp(-2kz)] \exp [2i(kx - \omega_2(k)T_0)] \\
&+ [C_{17} \exp(kz) + C_{18} \exp(-kz)] \exp [i(kx - \omega_1(k)T_0)] \\
&+ [C_{19} \exp(kz) + C_{110} \exp(-kz)] \exp [i(kx - \omega_2(k)T_0)] \\
&+ [C_{111} \exp(2kz) + C_{112} \exp(-2kz)] \\
&\times \exp [i(\omega_1(k) - \omega_2(k))T_0],
\end{aligned}$$

$$\begin{aligned}
\varphi_2^{(2)} &= A_{21} \exp(2kz) \exp [2i(kx - \omega_1(k)T_0)] \\
&+ A_{22} \exp(2kz) \exp [i(2kx (\omega_1(k) + \omega_2(k))T_0)] \\
&+ A_{23} \exp(2kz) \exp [2i(kx - \omega_2(k)T_0)]
\end{aligned}$$

Подставляя проекты решений (25) в граничные условия (24), можно найти коэффициенты в выражениях для  $\xi_j^{(2)}$ ,  $\varphi_j^{(2)}$   $j = 1, 2$ . Ввиду громоздкости получаемых решений ограничимся записью поправок к форме поверхностей раздела, поскольку в проводимом исследовании нас интересуют особенности внутреннего нелинейного резонансного взаимодействия волн, генерируемых на этих поверхностях.

После удовлетворения граничным условиям получим аналитические выражения для амплитуд  $\beta_{ji}$ , входящих в поправки второго порядка малости к аналитической записи поверхностей раздела  $\xi_j^{(2)}$ , в виде

$$\beta_{ji} = \frac{\beta_{ji}^*}{\mu_i}, \quad (i = 1, 2, 3), \quad (j = 1, 2),$$

$$\begin{aligned}
\beta_{14} = \beta_{15} = \beta_{16} = \beta_{17} = \beta_{24} = \beta_{25} = \beta_{26} = \beta_{27} &= 0, \\
\beta_{ji}^* &= 16 \exp(-2kh) \Omega_i \rho_i k^3 \left\{ \frac{k^2 E^2 (n + (2\varepsilon_d - 1))}{\pi \varepsilon_d} \right.
\end{aligned}$$

$$\begin{aligned}
&+ 2m \operatorname{ch}(2kh) [\Omega_i^2 (\operatorname{th}(2kh) \rho_1 + \rho_2 - 8k^3 \sigma_2)] \Big\} q_{i1} \\
&+ \frac{8iEk^4 \exp(-2kh)}{\pi \varepsilon_d} \left\{ \left( k^2 (\varepsilon_d - 1) \left( \frac{\operatorname{sh}(4kh) E^2}{\pi \varepsilon_d} \right. \right. \right. \\
&- 16 \operatorname{sh}^2(2kh) k \sigma_2 \Big) + \Omega_i^2 (\varepsilon_d [(\operatorname{sh}(4kh) - 2) \rho_1 \\
&+ 2 \operatorname{sh}^2(2kh) \rho_2] - 2 \operatorname{sh}^2(2kh) - 2 \operatorname{sh}^2(2kh) [\operatorname{cth}(2kh) \rho_1 \\
&+ \rho_2]) \Big\} q_{i2} + \frac{8k^4 E \exp(-2kh)}{\pi} \\
&\times \left\{ - \frac{2 \operatorname{sh}^2(2kh) k^2 E^2 (-1 + \varepsilon_d)}{\pi - \varepsilon_d} + 8 \operatorname{sh}(4kh) k^3 \right. \\
&\times (\varepsilon_d - 1) \sigma_2 - \Omega_i^2 \left[ (\operatorname{ch}(4kh) (-1 + 2\varepsilon \operatorname{ch}(4kh)) \right. \\
&+ 1) \rho_1 + \operatorname{sh}(4kh) (-1 + \varepsilon) \rho_2 \Big] \Big\} q_{i3} + 32k^3 \Omega_i \rho_i \\
&\times \left[ - \frac{k^2 E^2}{\pi} + \exp(-2kh) (-\Omega_i^2 \rho_2 + 8k^3 \sigma_2) m \right] q_{i4} \\
&+ 32 \exp(-2kh) \Omega_i k^5 \\
&\times \left\{ - \frac{E^2 [\exp(2kh) \varepsilon_d \rho_1 + \operatorname{sh}(2kh) (-1 + \varepsilon_d) \rho_2]}{\pi \varepsilon_d} \right.
\end{aligned}$$

$$\begin{aligned}
 & + 8k m \rho_1 \sigma_2 \left. \right\} q_{i5} + \frac{32 \exp(-2kh) k^5 E}{\pi} \left\{ \Omega_i^2 [\exp(2kh) \varepsilon_d \rho_1 \right. \\
 & + (-1 + \varepsilon_d) \operatorname{sh}(2kh) \rho_2] + 8k^3 (\varepsilon_d - 1) \operatorname{sh}(2kh) \sigma_2 \left. \right\} q_{i6} \\
 & + 64 i k^4 \exp(-2kh) \left\{ \frac{k^2 E^2 \operatorname{sh}(2kh) n}{\pi \varepsilon_d} - m \left[ - \Omega_i^2 \operatorname{sh}(2kh) \rho_1 \right. \right. \\
 & \times \left( \operatorname{cth}(2kh) + \frac{\rho_2}{\rho_1} \right) + 8k^3 \sigma_2 \left. \right] \left. \right\} q_{i7} + 64 i k^4 \exp(-2kh) \\
 & \times \left( - \frac{\operatorname{sh}(2kh) k^4 E^2 (\varepsilon_d - 1)}{\pi \varepsilon_d} + m \Omega_i^2 \rho_1 \right) q_{i8}, \\
 \beta_{2i}^* & = 32 \Omega_i \rho_1 k^5 \exp(-2kh) \left[ - \frac{E^2 (\varepsilon_d - 1) \operatorname{ch}(2kh)}{\pi} \right. \\
 & + 8k \sigma_1 m \left. \right] q_{i1} + 16 i E k^4 \exp(-2kh) \left[ \frac{\operatorname{sh}(2kh) k^2}{\pi} \right. \\
 & \times \left( - \frac{E^2 (\varepsilon_d - 1)^2}{\pi \varepsilon_d^2} + 8k \sigma_1 \right) - \frac{\Omega_i^2 \rho_1}{\pi \varepsilon_d} (\operatorname{sh}(2kh) \\
 & + \varepsilon_d \exp(-2kh)) \left. \right] q_{i2} + \frac{16 k^4 E}{\pi} \exp(-2kh) \\
 & \times [8 \operatorname{sh}(2kh) k^3 \sigma_1 - \operatorname{ch}(2kh) \varepsilon_d \Omega_i^2 \rho_1] q_{i3} \\
 & + 16 \Omega_i k^3 \rho_1 \exp(-2kh) \left[ \frac{k^2 E^2}{\pi \varepsilon_d} ((\varepsilon_d - 1)^2 \operatorname{ch}(4kh) \right. \\
 & + \varepsilon_d^2 - 1) + 2m (\Omega_i^2 \rho_1 \operatorname{sh}(2kh) - 8k^3 \sigma_1 \operatorname{ch}(2kh)) \left. \right] q_{i4} \\
 & + 16 \Omega_i k^3 \exp(-2kh) \left\{ \frac{k^2 E^2}{\pi \varepsilon_d} ((\varepsilon_d - 1)^2 [\rho_1 \operatorname{ch}(4kh) \right. \\
 & + \rho_2 \operatorname{sh}(4kh)] + (\varepsilon_d^2 - 1) \rho_1) + 2m [\Omega_i^2 \rho_1 (\rho_1 \operatorname{sh}(2kh) \\
 & + \rho_2 \operatorname{ch}(2kh)) - 8 \sigma_1 k^3 (\rho_1 \operatorname{ch}(2kh) + \rho_2 \operatorname{sh}(2kh))] \left. \right\} q_{i5} \\
 & + \frac{16 i E k^5}{\pi} \exp(-2kh) \left[ \frac{2k^2 E^2}{\pi \varepsilon_d} \operatorname{sh}^2(2kh) (\varepsilon_d - 1)^2 \right. \\
 & + \Omega_i^2 \rho_1 (\operatorname{ch}(4kh) + \varepsilon \operatorname{sh}(4kh) + 2\varepsilon_d - 1) \\
 & \left. - 16 n k^3 \sigma_1 \operatorname{sh}(2kh) \right] q_{i6} + 64 i k^4 \exp(-2kh) \\
 & \times \left[ - \frac{k^2 E^2}{\pi \varepsilon_d} \operatorname{sh}(2kh) (\varepsilon_d - 1) + \Omega_i^2 m \rho_1 \right] q_{i7}
 \end{aligned}$$

$$\begin{aligned}
 & + 32 i k^4 \exp(-2kh) \left[ \frac{k^2 E^2}{\pi \varepsilon_d} (\varepsilon_d - 1)^2 \operatorname{sh}(4kh) \right. \\
 & + 2m (\Omega_i^2 \rho_1 \operatorname{ch}(2kh) - 8k^3 \sigma_1 \operatorname{sh}(2kh)) \left. \right] q_{i8} \\
 n & = \varepsilon_d \operatorname{sh}(2kh) + \operatorname{ch}(2kh); \quad m = \operatorname{sh}(2kh) + \varepsilon_d \operatorname{ch}(2kh), \\
 \mu_i & = R_i(k) [\Omega_i^2 + \omega_2^2(2k) + b(2k)], \\
 b(2k) & = - \frac{2kV(2k)}{(\rho_2 + \rho_1 \operatorname{th}(2kh))}, \\
 R_i(k) & \equiv [\Omega_i^2(k) - \omega_2^2(2k)], \\
 \Omega_1(k) & \equiv 2\omega_1(k), \quad \Omega_2(k) \equiv \omega_2(k) - \omega_1(k), \\
 \Omega_3(k) & \equiv 2\omega_2(k). \tag{26}
 \end{aligned}$$

Невыписанные здесь коэффициенты приведены в Приложении. В расчетах второго порядка малости выяснилось, что коэффициенты  $\alpha_{11}$  и  $\alpha_{12}$  не зависят от времени  $T_1$ . Окончательные аналитические выражения для поправок второго порядка к возмущениям поверхностей раздела определяются суперпозицией общего и частного решений краевой задачи (24):

$$\begin{aligned}
 \xi_1^{(2)} & = \int_0^\infty \gamma_{11}(k') \exp [i(k'x - \omega_1(k')T_0)] + \gamma_{12}(k') \\
 & \times \exp [i(k'x - \omega_2(k')T_0)] dk' + \beta_{11} \alpha_{11}^2 \exp [2i(kx \\
 & - \omega_1(k)T_0)] + \beta_{12} \alpha_{11} \alpha_{12} \exp [i(2kx - (\omega_1(k) \\
 & + \omega_1(k)T_0))] + \beta_{13} \alpha_{12}^2 \exp [2i(kx - \omega_2(k)T_0)], \\
 \xi_2^{(2)} & = \int_0^\infty \gamma_{21}(k') \exp [i(k'x - \omega_1(k')T_0)] + \gamma_{22}(k') \\
 & \times \exp [i(k'x - \omega_2(k')T_0)] dk' + \beta_{21} \alpha_{11}^2 \exp [2i(kx \\
 & - \omega_1(k)T_0)] + \beta_{22} \alpha_{11} \alpha_{12} \exp [i(2kx - (\omega_1(k) \\
 & + \omega_1(k)T_0))] + \beta_{23} \alpha_{12}^2 \exp [2i(kx - \omega_2(k)T_0)]. \tag{27}
 \end{aligned}$$

Используя начальные соотношения, найдем коэффициенты  $\gamma_{11}(k')$ ,  $\gamma_{12}(k')$ ,  $\gamma_{21}(k')$  и  $\gamma_{22}(k')$  и запишем окончательные выражения для  $\xi_j^{(2)}$ , которые после замены  $T_0$  на  $t$  примут вид

$$\begin{aligned}
 \xi_1^{(2)} & = \gamma_{11}(2k) \exp [i(2kx - \omega_1(2k)t)] + \gamma_{12}(2k) \exp [i(2kx \\
 & - \omega_2(2k)t)] + \beta_{11} \exp [2i(kx - \omega_1(k)t)] + \beta_{12} \exp [i(2kx \\
 & - (\omega_1(k) + \omega_2(k))t)] + \beta_{13} \exp [2i(kx - \omega_2(k)t)] \\
 & + \beta_{17} \exp [i((\omega_1(k) - \omega_2(k))t)],
 \end{aligned}$$

$$\begin{aligned} \xi_2^{(2)} = & \gamma_{21}(2k) \exp [i(2kx - \omega_1(2k)t)] + \gamma_{22}(2k) \exp [i(2kx - \omega_2(2k)t)] + \beta_{21} \exp [2i(kx - \omega_1(k)t)] + \beta_{22} \exp [i(2kx - (\omega_1(k) + \omega_2(k))t)] + \beta_{23} \exp [2i(kx - \omega_2(k)t)] + \beta_{27} \exp [i((\omega_1(k) - \omega_2(k))t)], \end{aligned} \quad (28)$$

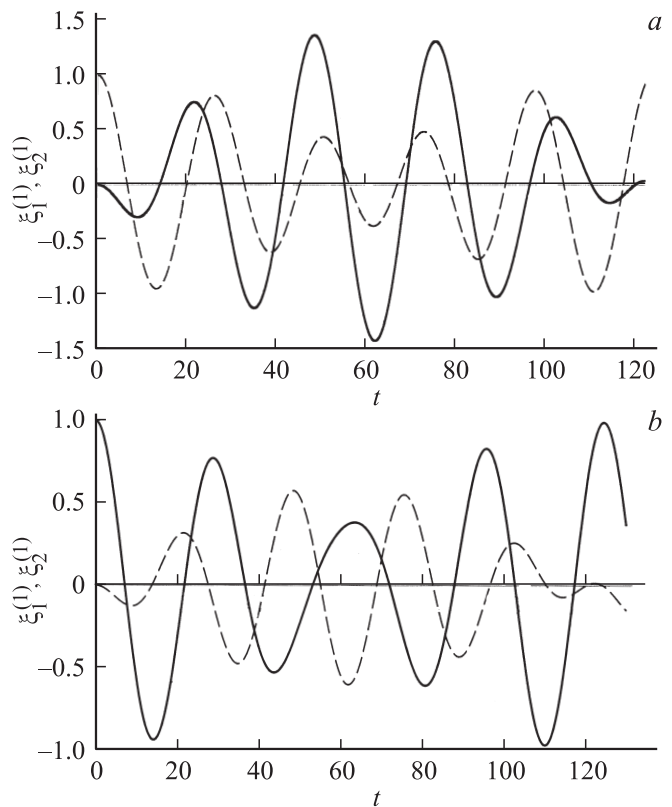
$$\begin{aligned} \gamma_{i1}(2k) = & -\frac{1}{\omega_1(2k) - \omega_2(2k)} [(2\omega_1(k) - \omega_2(2k))\beta_{i1} + (\omega_1(k) + \omega_2(k) - \omega_2(2k))\beta_{i2} + (2\omega_2(k) - \omega_2(2k))\beta_{i3}], \\ \gamma_{i2}(2k) = & \frac{1}{\omega_1(2k) - \omega_2(2k)} [(2\omega_1(k) - \omega_1(2k))\beta_{i1} + (\omega_1(k) + \omega_2(k) - \omega_1(2k))\beta_{i2} + (2\omega_2(k) - \omega_1(2k))\beta_{i3}] \quad (i = 1, 2). \end{aligned}$$

Аналогично находятся коэффициенты  $C$  и  $A$ , входящие в выражения для поправок второго порядка малости к гидродинамическим потенциалам (25). В контексте проводимого анализа явный вид коэффициентов  $C$  и  $A$  для нас несуществен однако отметим, что они имеют такую же структуру, что и выписанные коэффициенты  $\beta_{ij}$ .

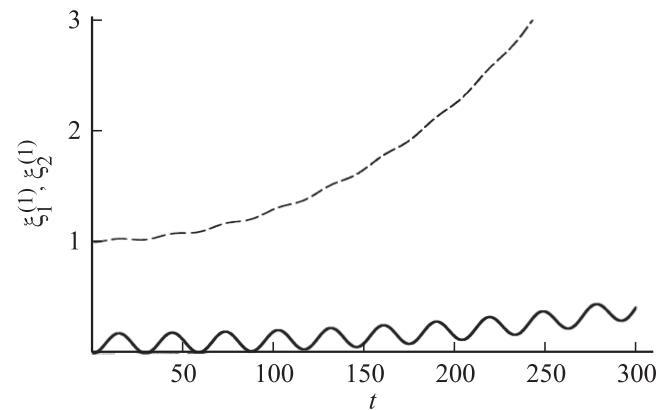
### 5. Анализ полученных результатов

Численные расчеты, выполненные в безразмерных переменных, в которых принято  $\rho_1 = \sigma_1 = h = 1$ , по выражениям, полученным для возмущений поверхностей раздела показали, что влияние поля сводится к увеличению амплитуд волн. На рис. 1 представлены амплитуды волн первого порядка малости при близких к критическому (при котором реализуется электростатическая неустойчивость [6]) значения электростатического поля. При критическом значении поля свободная поверхность, возбужденная в начальный момент времени  $t = 0$ , теряет устойчивость и „тянет“ за собой границу раздела, в результате чего обе поверхности становятся неустойчивыми (рис. 2). Аналогичная ситуация возникает и при возбуждении в начальный момент времени границы раздела жидкостей.

На рис. 3 приведены результаты расчетов по соотношениям (28) нелинейных поправок к профилям волн на свободной поверхности  $\xi_1^{(2)}$  и на границе стратификации  $\xi_2^{(2)}$ , полученные в квадратичном по безразмерным амплитудам приближения при задании в начальный момент времени волновой деформации свободной поверхности. На рис. 4 приведены аналогичные зависимости при задании в начальный момент времени волновой деформации границы стратификации. Сравнение рис. 3 и 4 с рисунками, приведенными в работе [7] для задачи о капиллярных волнах в отсутствие электростатического поля, свидетельствует о сохранении характерной черты эффекта „мертвой воды“ во втором порядке малости:

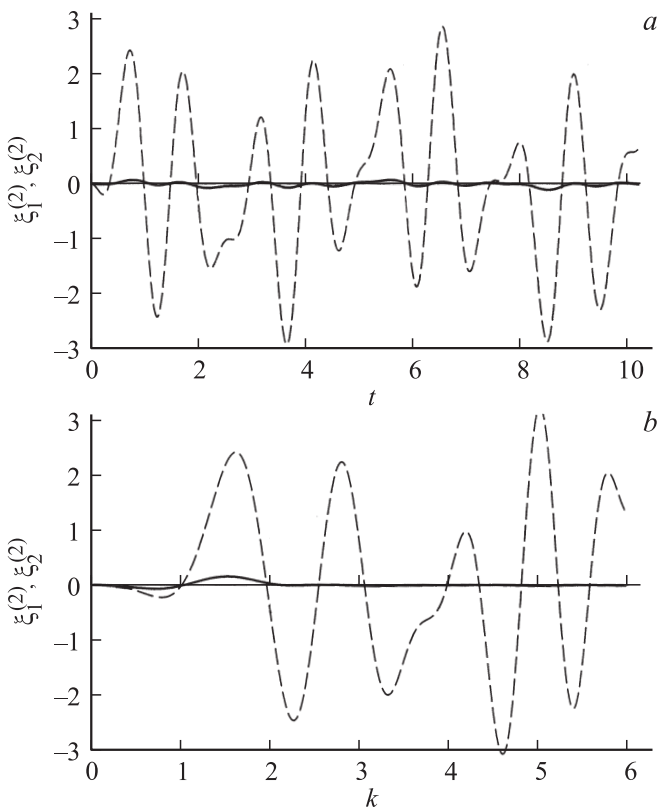


**Рис. 1.** Зависимости от времени поправок первого порядка к форме свободной поверхности  $\xi_1^{(1)}(x, t)$  (штриховые кривые) и границы раздела жидкостей  $\xi_2^{(1)}(x, t)$  (сплошные кривые), рассчитанные при  $x = 0, kh = 1, \rho_1 = 1, \rho_2 = 1.01, \sigma_1 = 1, \sigma_2 = 0.05, E_* = 3.5, \epsilon_d = 80$ . *a* —  $\xi_1 = 1, \xi_2 = 0$ ; *b* —  $\xi_1 = 0, \xi_2 = 1$ .



**Рис. 2.** Зависимости от времени поправок первого порядка к форме свободной поверхности  $\xi_1^{(1)}(x, t)$  (штриховая кривая) и границы раздела жидкостей  $\xi_2^{(1)}(x, t)$  (сплошная кривая), рассчитанные при  $x = 0, kh = 1, \rho_1 = 1, \rho_2 = 1.01, \sigma_1 = 1, \sigma_2 = 0.05, E_* = 3.605, \epsilon_d = 80, \xi_1 = 1, \xi_2 = 0$ .



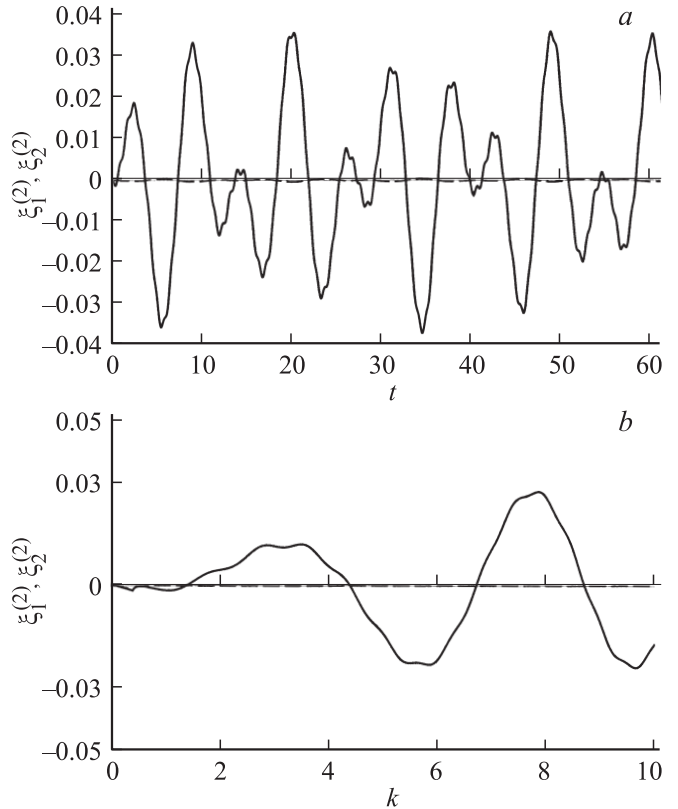


**Рис. 3.** Зависимости от времени (а) и от волнового числа (b) нелинейных поправок к профилям волн на свободной поверхности  $\xi_1^{(2)}$  (штриховые кривые) и на границе стратификации  $\xi_2^{(2)}$  (сплошные кривые), рассчитанные при  $x = 0, \rho_1 = 1, \rho_2 = 1.01, \sigma_1 = 1, \sigma_2 = 0.05, E_* = 2, \epsilon_d = 80, \xi_1 = 1, \xi_2 = 0$ . а —  $kh = 2$ ; b —  $h = 1, t = 1$ .

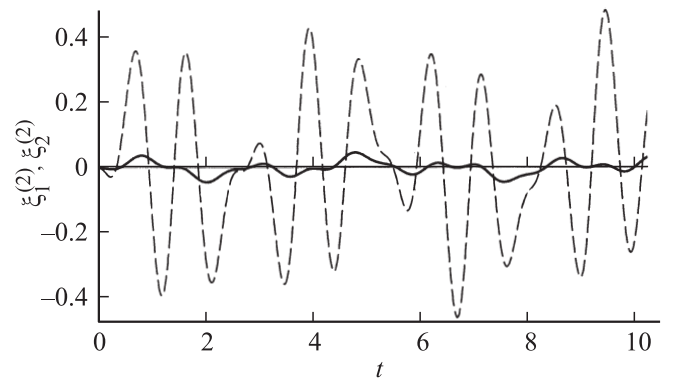
при возбуждении начальной волны на границе стратификации амплитуда нелинейной поправки к внутренней волне существенно превышает амплитуду аналогичной поправки к внешней волне. Наличие электростатического поля приводит к тому, что, когда в начальный момент времени волна возбуждается на свободной поверхности (рис. 3, а), амплитуда нелинейной поправки к внешней волне  $\xi_1^{(2)}$  становится на порядок больше, чем аналогичная поправка в отсутствие поля (рис. 5). В то же время поправка второго порядка к внутренней волне  $\xi_2^{(2)}$  при наличии поля (рис. 3, а) имеет тот порядок величины, что и без поля (рис. 5).

На рис. 3, b и 4, b приведены зависимости безразмерных нелинейных поправок к волнам на свободной поверхности жидкости  $\xi_1^{(2)}(k)$  и на границе стратификации  $\xi_2^{(2)}(k)$  от безразмерного волнового числа  $k$ , когда в начальный момент времени задана волновая деформация свободной поверхности (рис. 3, b) и на поверхности стратификации (рис. 4, b). Из представленных зависимостей видно, что амплитуды нелинейных поправок к волнам как функции волнового числа изменяются немонотонным образом, так же как и поправки первого

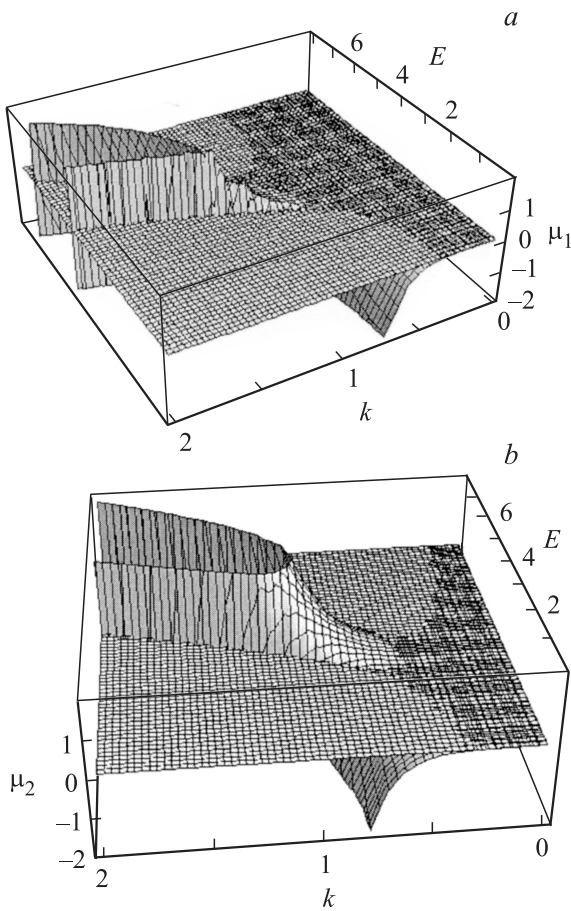
порядка. В качественном отношении зависимости, приведенные на рис. 3, b и рис. 4, b, сходны и являются возрастающими периодическими функциями, различающимися только при  $k < 3$ .



**Рис. 4.** Зависимости от времени (а) и от волнового числа (b) нелинейных поправок к профилям волн на свободной поверхности  $\xi_1^{(2)}$  (штриховые кривые) и на границе стратификации  $\xi_2^{(2)}$  (сплошные кривые), рассчитанные при  $x = 0, \rho_1 = 1, \rho_2 = 1.01, \sigma_1 = 1, \sigma_2 = 0.05, E_* = 2, \epsilon_d = 80, \xi_1 = 0, \xi_2 = 1$ . а —  $kh = 2$ ; b —  $h = 1, t = 1$ .



**Рис. 5.** Зависимости от времени нелинейных поправок к профилям волн на свободной поверхности  $\xi_1^{(2)}$  (штриховые кривые) и на границе стратификации  $\xi_2^{(2)}$  (сплошные кривые), рассчитанные при  $x = 0, k = 2, \rho_1 = \sigma_1 = h = 1, \rho_2 = 1.01, \sigma_2 = 0.05, E_* = 0, \xi_1 = 1, \xi_2 = 0$ .



**Рис. 6.** Поверхности  $\mu_i(k, W)$ , пересеченные плоскостями  $\mu_i = 0$ , рассчитанные при  $\rho_1 = 1$ ,  $\rho_2 = 1.01$ ,  $\sigma_1 = 1$ ,  $\sigma_2 = 0.05$ ,  $\varepsilon_d = 80$ . *a* —  $\mu_1(k, W)$ , *b* —  $\mu_2(k, W)$ .

Исследование наличия резонансных ситуаций на основе соотношений  $\mu_i = 0$  из (26) при условии, что частоты  $\omega_i$  определяются как решения дисперсионного уравнения (19) (при этом множители  $\mu_i$  становятся функциями двух параметров  $k$  и  $W$ ), дает положительный результат. При наличии заряда на границе стратификации (т.е. электрического поля) обнаруживается как вырожденное (двухволновое), так и вторичное комбинационное (трехволновое) внутренние нелинейные резонансные взаимодействия волн, порожденных различными поверхностями. Резонансное взаимодействие волн реализуется на линии пересечения поверхностей  $\mu_i(k, W)$  и  $\mu_i = 0$ , как это проиллюстрировано на рис. 6 для конкретных ситуаций: с вырожденным резонансом  $\mu_1(k, W)$  (рис. 6, *a*) и с вторичным комбинационным резонансом  $\mu_2(k, W)$  (рис. 6, *b*). Из представленных графиков следует, что оба вида резонансных взаимодействий возможны лишь при конечном отличном от нуля значении напряженности электрического поля ( $W > 0$ ). Для случая  $\mu_3(k, W)$  нелинейное резонансное взаимодействие отсутствует, и наличие электрического поля не изменяет этой ситуации.

## Заключение

В приведенном аналитическом исследовании волнового движения на границе стратификации несмешивающихся жидкостей и на свободной поверхности верхней жидкости выяснилось, что наличие электрического поля приводит к возможности проявления как вырожденного, так и вторичного комбинационного внутреннего нелинейного резонансного взаимодействия между волнами на обеих поверхностях. При электрическом поле  $E_*$ , меньшем критического значения, для нелинейных поправок к профилям волн сохраняется эффект „мертвой воды“. В области значений  $E_*$ , близких к критическому, данный эффект пропадает: амплитуды нелинейных поправок к волнам на свободной поверхности имеют тот же порядок величины, что и поправки к волнам на границе раздела. Кроме того, приближение значения электрического поля к критическому приводит к возможности резонансного обмена энергией между волнами, распространяющимися по обеим поверхностям раздела.

## Приложение

$$\begin{aligned}
 q_{11} &= -2k^2(B_{11} \exp(kh) + B_{21} \exp(-kh)), \\
 q_{12} &= 2k^2(-1 + \varepsilon_d)(D_{11} \exp(kh) + D_{21} \exp(-kh)), \\
 q_{13} &= 0, \\
 q_{14} &= 2k^2(A_1 - B_{11} - B_{21}), \quad q_{15} = 2k^2 d_1 A_1, \\
 q_{16} &= k d_1 (D_{11} - D_{12}), \\
 q_{17} &= \left\{ \frac{k^2}{8\pi\epsilon} \left[ 2(\varepsilon_d^2 - 1) D_{11} D_{12} + (\varepsilon_d - 1)^2 (D_{11}^2 \exp(2kh) \right. \right. \\
 &\quad \left. \left. + D_{21}^2 \exp(-2kh)) - 2k^2 B_{11} B_{21} \rho_1 \right. \right. \\
 &\quad \left. \left. + ik\rho_1 \omega_1(k) (-B_{11} \exp(kh) + B_{21} \exp(-kh)) \right] \right\}, \\
 q_{18} &= \left[ \frac{k^2 \varepsilon_d D_{11} D_{12}}{2\pi} + 2k^2 B_{11} B_{21} \rho_1 \right. \\
 &\quad \left. + ik d_1 \rho_1 \omega_1(k) \left( B_{11} - B_{21} - A_1 \frac{\rho_2}{\rho_1} \right) \right], \\
 q_{21} &= -2k^2 [(B_{11} + B_{12}) \exp(kh) + (B_{21} + B_{22}) \exp(-kh)], \\
 q_{22} &= 2k^2 \left\{ (-1 + \varepsilon_d) [\exp(kh)(D_{11} + D_{12}) \right. \\
 &\quad \left. + (D_{22} + D_{21}) \exp(-kh)] - G_2 \exp(-kh) \right\}, \\
 q_{23} &= 2ik^2 G_2 \exp(-kh), \\
 q_{24} &= 2k^2 [(A_2 - B_{12} - B_{22}) d_1 + (A_1 - B_{11} - B_{12}) d_2], \\
 q_{25} &= -2k^2 (A_2 d_1 + A_1 d_2), \\
 q_{26} &= k [(D_{12} - D_{22}) d_1 + (D_{11} - D_{21}) d_2],
 \end{aligned}$$

$$\begin{aligned}
q_{27} &= \left\{ \frac{k^2}{4\pi\varepsilon_d} \left[ (-1 + \varepsilon_d^2)(D_{12}D_{21} + D_{11}D_{22} + D_{11}G_2) \right. \right. \\
&\quad + (-1 + \varepsilon_d)^2 (D_{11}D_{12} \exp(2kh) \\
&\quad + D_{21}(D_{22} + G_2) \exp(-2kh)) \\
&\quad - ik\rho_1 \left[ (B_{11} \exp(kh) - B_{12} \exp(-kh))\omega_1(k) \right. \\
&\quad + (B_{12} \exp(kh) - B_{22} \exp(-kh))\omega_2(k) \\
&\quad \left. \left. - 2k^2(B_{12}B_{21} + B_{11}B_{22})\rho_1 \right] \right\}, \\
q_{28} &= \left\{ \frac{k^2\varepsilon_d(D_{12}D_{21} + D_{11}D_{22})}{2\pi} + 2k^2\rho_1(B_{12}B_{21} + B_{11}B_{22}) \right. \\
&\quad + ik\rho_1 \left[ d_2 \left( B_{11} - B_{21} - A_1 \frac{\rho_2}{\rho_1} \right) \omega_1(k) \right. \\
&\quad \left. + d_1 \left( B_{12} - B_{22} - A_2 \frac{\rho_2}{\rho_1} \right) \omega_2(k) \right] \right\}, \\
q_{31} &= -2k^2(B_{12} \exp(kh) + B_{22} \exp(-kh)), \\
q_{32} &= 2k^2 \left[ (-1 + \varepsilon_d)(D_{12} \exp(kh) + D_{22} \exp(-kh)) \right. \\
&\quad \left. - G_2 \exp(-kh) \right], \\
q_{33} &= 2ik^2G_2 \exp(-kh), \quad q_{34} = 2k^2(A_2 - B_{12} - B_{22})d_2, \\
q_{35} &= -2k^2A_2d_2, \quad q_{36} = k(D_{12} - D_{22})d_2, \\
q_{37} &= \left\{ \frac{k^2}{8\pi\varepsilon_d} \left[ (-1 + \varepsilon_d)^2 (D_{12}^2 \exp(2kh) \right. \right. \\
&\quad + (D_{22} + G_2)^2 \exp(-2kh)) \\
&\quad + 2(-1 + \varepsilon_d^2)D_{12}(D_{22} + G_2) \\
&\quad - ik\rho_1 (B_{12} \exp(kh) - B_{22} \exp(-kh))\omega_2(k) \\
&\quad \left. \left. - 2k^2B_{12}B_{22}\rho_1 \right] \right\}, \\
q_{38} &= k \left[ \frac{k\varepsilon_d D_{12}D_{22}}{2\pi} + 2kB_{12}B_{22}\rho_1 \right. \\
&\quad \left. + i\rho_1 d_2 \left( B_{12} - B_{22} - A_2 \frac{\rho_2}{\rho_1} \right) \omega_2(k) \right], \\
B_{1i} &= -\frac{i\omega_i(1 - d_i \exp(-kh))}{2k \operatorname{sh}(kh)}; \\
B_{2i} &= \frac{i\omega_i(-1 + d_i \exp(kh))}{2k \operatorname{sh}(kh)}, \\
A_i &= -\frac{i\omega_i d_i}{k}; \quad D_{1i} = -\frac{E_*(-1 + \varepsilon_d)(1 - d_i \exp(-kh))}{2\varepsilon_d[\operatorname{sh}(kh) + \varepsilon_d \operatorname{ch}(kh)]},
\end{aligned}$$

$$D_{2i} = \frac{E_*((-1 + \varepsilon_d) + \exp(kh)(1 + \varepsilon_d)d_i)}{2\varepsilon_d(\operatorname{sh}(kh) + \varepsilon_d \operatorname{ch}(kh))},$$

$$G_i = \frac{E_* \exp(kh) [\operatorname{ch}(kh)(-1 + \varepsilon_d) + d_i]}{\operatorname{sh}(kh) + \varepsilon_d \operatorname{ch}(kh)}, \quad (i = 1, 2).$$

Работа выполнена при поддержке грантов Рособрнау-ки № РНП 2.1.1/3776 и РФФИ № 09-01-00084.

## Список литературы

- [1] Сретенский Л.Н. // Журнал геофизики. 1934. Т. 4. Вып. 3. С. 332–367.
- [2] Сретенский Л.Н. Теория волновых движений жидкости. М.: Наука, 1977. 815 с.
- [3] Григорьев А.И., Федоров М.С., Ширяева С.О. // Изв. РАН. МЖГ. 2010. № 5. С. 130–140.
- [4] Ширяева С.О., Григорьев А.И., Федоров М.С. // <http://zhurnal.arelarn.ru/articles/2010/020.pdf>. С. 260–268.
- [5] Григорьев А.И., Ширяева С.О., Федоров М.С. // ЖТФ. 2010. Т. 80. Вып. 7. С. 8–17.
- [6] Ширяева С.О., Григорьев А.И., Федоров М.С. Капля в грозном облаке. Ярославль: Изд-во ЯрГУ, 2008. 550 с.
- [7] Григорьев А.И., Федоров М.С., Ширяева С.О. // ЖТФ. 2011. Т. 81. Вып. 11. С. 31–39.